

III-257 打込式サンドドレーンの効果

東洋大学 工学部 正員 斎木俊允

1. はじめに 打込式サンドドレーン(以下SDと略す)の効果については長年、議論が投げかけられており、特に打込時の擾乱による影響が問題視されている(e.g., Casagrande, L. & S. Poulos, 1969)。我が国では沈下促進効果がないこととされる試験盤土においても、無処理区と打込式SDによる改良区とでは、沈下量には大差がないにも拘らず、改良区ではより顯著な強度増加と含水比低下が認められている。これは説明できない現象とされ、その原因は解明されないままになっている(e.g., 「土と基礎」1972年8月号)。

こゝでは長例の打込式SDによる試験盤土結果に基き、原地盤強度に対する擾乱の影響、および打設・盤土施工後の強度増加を検討して、その原因を明らかにし、最も適用されている打込式SDによる改良地盤の強度増加を予測するための実用的方法を提案する。

2. 打込み杭の実験と类似性

SD打設時においては、マンドレルの打込により周辺の粘性土は擾乱されて一旦強度は低下し、マンドレルに等しい体積の粘性土は排除され、これと全く体積の砂柱が土中に挿入される。排除された粘性土は、一部は地表の擾乱となり一部は側方に流動するが、急速には収縮できないため、周辺の間げき水圧は大巾に上昇する。このための盛土以前においても、粘性土は圧密され地表面は沈下し、周辺地盤の強度は急速に回復する。

この現象は打込み杭について古くより観察されており(Cummings, Kerkhof & Peck, 1948), 強度増加についても鉄筋比の高い粘土(Rutherford, P.C., 1950; Seed & Reese, 1955; Schmertmann, 1956; Parsons & Peck, 1957), 鉄筋比の高い粘土(Orrje & Broms, 1967)の両者について、かなり明確にされている。図-1はこれらに墨く筆者の考え方を要約したものである。杭打込みによる擾乱の影響は、杭近傍では大きい(A→B→C'), 地盤全体の平均強度に対してあまり大きいものではない(A→B→C)。

打込みでは杭近傍の強度が問題となるのに対し、SDの場合改め地盤全体の平均強度が問題となる。打込式SDについては、打設直後からSDに向って排水が始まり、通常直ちに盤土荷重による圧密が始まるのが、打込み杭の場合と異なる点である。従て打込式SDによる強度増加は、盤土荷重のみによる場合の強度増加に比べて、SD打設による増加分だけ大きくなるのが当然である。

3. 砂柱の体積が及ぼす影響

図-2に示すように4本のSDによって囲まれる面積をAとし、長さH_s、断面積A_sのSDを打設して盤土を施工した後、圧縮戸上端の原深度から測りて、沈下Sが生じたとする(簡単化のため下端の沈下は0とする)。この時圧縮戸(厚H)の平均体積変化率は

$$\frac{\Delta V}{V} = \frac{1}{AH} \{ \beta A_s H_s + (A - A_s) S \} = \beta \frac{H_s}{H} \cdot \frac{A_s}{A} + \frac{S}{H} \quad (1)$$

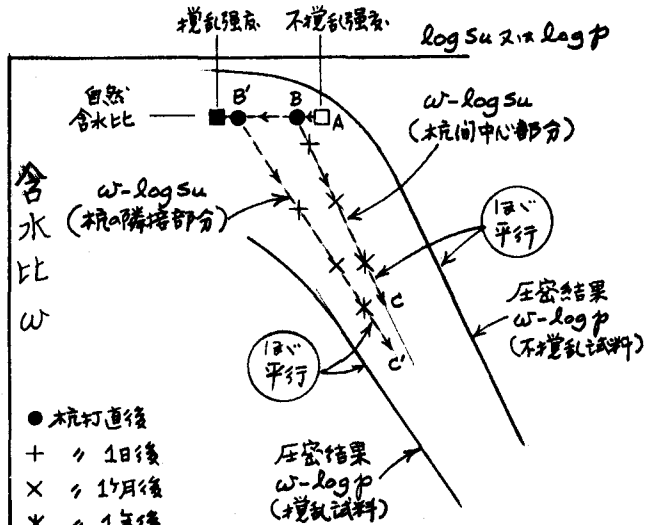


図-1 杭打ち後の強度増加

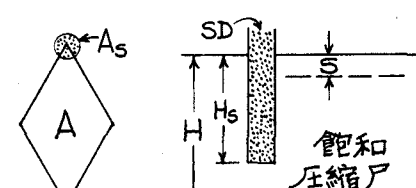


図-2 サンドドレーン(SD)の打設

たゞ $H_s \geq H$ の場合は $\frac{H_s}{H} = 1$ である。 β は SD 打設中の側方流動を考慮する係数であるが、改良区间全体の平均値として(1)式を考える時は $\beta = 1$ とし、
 てよいことが多い。沈下 S_f が生じた時、初期含水比 w_0 からの変化分 Δw を得れば、飽和土の場合排水による体積変化率は $(\frac{\Delta V}{V})_{w_0} = \frac{G}{1+Gw_0} \Delta w$ — (2), G :比重である。圧縮戸の側方流動による沈下を S_f , $S_e = S - S_f$ とすれば、
 $\beta \frac{H_s}{H} \frac{A_s}{A} + \frac{S_e}{H} = \frac{G}{1+Gw_0} (\Delta w_s + \Delta w_e)$ — (3) と表わすことができる。 Δw を SD 打設による圧密の含水比変化分 Δw_s , 盆土荷重下の圧密による Δw_e とに分り、夫々 A_s , S_e の項に対応させて考えることができる。側方流動の小さい場合や盛土中央下では、 $S_e \approx S$, $\beta = 1$ とすれば、 $\frac{H_s}{H}$ のケースに対しては、比 $\frac{G}{1+Gw_0} \Delta w = \frac{A_s}{A + S} S$ — (4) という簡単な関係が得られる。通常の SD 施工例では $\frac{A_s}{A}$ は 1% 以下であるが、盛土による沈下率 S_f に対して、無視できない場合の多いことが明らかとなる。

(2)式による体積変化が強度増加を決めるものであるが、含水比 w と非排水せん断強度 S_u との関係 $w - \log S_u$ は、圧密試験結果の $w - \log p$ とほぼ平行になることがよく知られている (Rutledge, 1947)。図-3 は先端開塞型の打込式 SD による試験盛土について、打設前後で実測された強度と含水比の関係をプロットしたものである。平均実測値として点 A (○), C (○) を求め、圧縮戸の代表的な圧密結果 $w - \log p$ に平行な C を通る直線を引けば、打設直後の w_0 に対する平均強度 S_{ur} (B 点 ●) を推定することができます。図-3(表-1) は、打設の影響による S_{ur} が初期強度 S_{uo} の 57~77% であることを示しているが、他のデータをも踏ますれば、 $\alpha = \frac{S_{ur}}{S_{uo}}$ は 0.6~0.8 の範囲にあると考えられる。現在のところまだ平均値のとり方に問題があるが、表-1 の計算結果が(4)式の関係を大略満足することは、以上の考え方の妥当性を立証するものと云えよう。

4. 結論 図-4 は示すように、まず S_{uo} と w_0 の各戸についての平均値を求め、 $S_{ur} = (0.6 \sim 0.8) S_{uo}$ として、A と B の位置を決める。B を通り代表的な圧密試験結果 $w - \log p$ に平行線を引き、任意の時点 w における Δw を(3)または(4)式より算定すれば C の位置が決まり、此時における強度増加を予測することができるとなる。なお(3),(4)式によれば、 $\frac{S}{H} \gg \frac{A_s}{A}$ の場合には従来通り、SD 施工時の体積の影響は無視してよいことが明らかである。

表-1 図-2 に示したデータ (データはすべて道路公団報告書による)

試験盛土	打込式 SD	$\alpha = \frac{S_{ur}}{S_{uo}}$	Δw 測定時の打設後差過 月数と Δw	$(\frac{\Delta V}{V})_{w_0}$ $= \frac{G \Delta w}{1+Gw_0}$	$(\frac{\Delta V}{V})_w = \frac{A_s}{A} + \frac{S}{H}$			平均値を とる 深さ範囲	$\frac{S}{H}$ 用いた値 S cm	H m
					$\frac{A_s}{A}$	$\frac{S}{H}$	$\frac{A_s + S}{A + H}$			
尼崎	43 2.5 10	.57	6月 7.4%	7.5%	2.7%	2.3%	5.0	4~7m	18	7.80
乙訓	43 1.6 8	.77	4 6.7	9.0	6.5	3.6	10.1	3~5	23	6.40
大垣	42.4 2.4 22	.61	17 24.2	21.4	2.8	14.5*	22.3	1~6	146	7.40
	無処理	-	" 15.3	13.1	-	14.5	-	2~3	90	6.20
厚木	43 2.0 10	.73	7 11.3	9.7	3.2**	8.2	11.5	0~13	119	14.50
	無処理	-	" 6.8	5.8	-	7.4	-	"	107	"

* 上段は $\frac{S}{H}$ の下限と考えられる値、下段は上限と考えられる値 ** $\frac{H_s}{H} \cdot \frac{A_s}{A} = \frac{10}{13} \times 4.2$

[June
'76 for
JSCE
Meet]

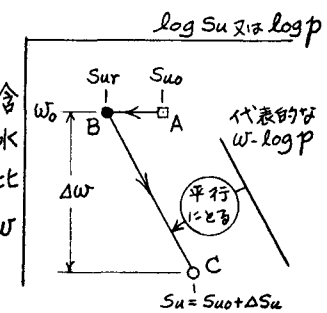
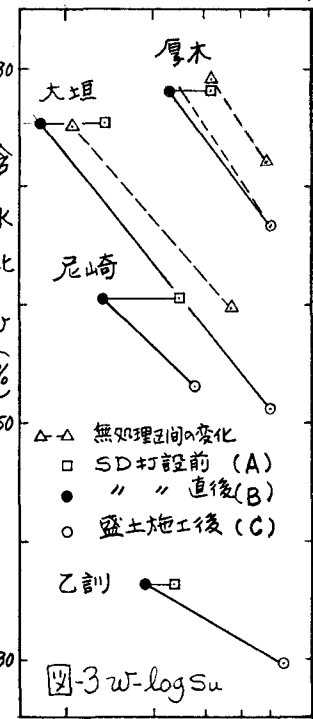


図-4 圧密と強度増加